

М. А. БУРЫШКИН

ПРИМЕНЕНИЕ ТЕОРИИ ПРЕДСТАВЛЕНИЙ ГРУПП К ЛИНЕЙНЫМ ЗАДАЧАМ МЕХАНИКИ КОНСЕРВАТИВНЫХ СИСТЕМ

Учет симметрии механических систем в разнообразных расчетах связан с применением методов теории представлений групп [3–6]. С практической точки зрения весьма важен такой подход к исследованию симметричных инженерных конструкций, в котором бы эти методы — специфичные и зачастую громоздкие — непосредственно не участвовали. В работе [6] приведена методика статических расчетов пластики с циклической симметрией, отвечающая указанному условию. В данной работе эта методика распространяется на разнообразные линейные задачи механики консервативных систем, обладающих произвольной группой симметрии.

1. Группы симметрии реальных механических систем относятся к следующим двенадцати типам точечных групп: C_n , D_n , T , O , S_{2n} , C_{nh} , D_{nh} , D_{nd} , T_h , T_b и O_b (описание этих групп приведено, например, в [1]), причем $C_{nh} = C_n \times \tau_h$, $D_{nh} = D_n \times C_{oh}$, $D_{nd+1,d} = D_{2n+1,d} \times I$, $T_h = T \times I$ и $O_b = O \times I$ [1]. Последние равенства в общем виде записываются как $G'' = G' \times E_2$, где G' — любая из групп C_{nh} , D_{nh} , $D_{nd+1,d}$, T_h и O_b ; G' и E_2 — соответствующие G'' группы с порядками, равными m' и двум. В дальнейшем через m обозначается порядок группы G ; I и m — число различных неприводимых представлений τ и их размерность; l' — число неприводимых представлений группы G' , а $q_j(G)$ и просто q_j — j -ый элемент группы G .

Каждая точечная группа характеризуется своей системой простых и зеркальных осей (здесь отражение рассматривается как зеркальный поворот на 360°). Оси нумеруются, начиная с осей высшего порядка. Обозначения отражений, а также нумерация осей в пределах одного порядка совпадают с принятыми в [1], причем ось $C_4^{(2)}$ группы O направляется вертикально вверх. Если множества простых поворотов вокруг осей некоторой группы первого рода расположить в соответствии с нумерацией осей, причем в каждом таком множестве повороты, отсчитываемые в направлении против часовой стрелки, располагать в порядке увеличения их углов, то элементы групп 1-го рода упорядочиваются и нумеруются, начиная с единичного. Неприводимые представления группы 1-го рода пронумерованы в [1].

Замечание 1. Если некоторое представление τ группы G — комплексно, то с теми же оговорками, что и в [6], вместо τ и $\bar{\tau}$, рас-

сматривается уже приводимое представление, индуцируемое регулярным представлением группы G на объединение подпространств $R_i^{(k)}$ и $\bar{R}_i^{(k)}$ преобразующихся соответственно по τ_i и $\bar{\tau}_i$. Указанному представлению приписывается наименьший из номеров представлений τ_i и $\bar{\tau}_i$. Таково, например, второе представление группы T .

Упорядочивание множества зеркальных поворотов групп C_{nv} , S_{2n} , D_{2nd} и T_d аналогично множеству простых поворотов и подчинение первого множества второму определяет способ нумерации элементов этих групп. Удобно считать, что номера одинаковых неприводимых представлений изоморфных групп совпадают.

Теперь естественно нумеровать элементы и неприводимые представления групп C_{nh} , D_{nh} , $D_{2n+1, d}$, T_b и O_h по следующему принципу: $g_j(G') = g_j(G)$, $g_{j+m'}(G') = g_j(E_2)g_{m'}(G)$, ($j = 1, 2, \dots, m'$) и $\tau'_i = \tau_i \otimes 0$; $\tau'_{i+m'} = \tau'_i \times \theta_{2r}$, ($i = 1, 2, \dots, l'$), где τ'_i и τ_i — неприводимые представления групп G' и G , а θ_r — неприводимые представления группы E_2 , причем θ_1 — единичное представление.

Пусть область Ω трехмерного пространства обладает точечной группой G симметрии, $x \in \Omega$ — произвольная точка этой области, а p и $p(x)$ — определенная в Ω вектор-функция и ее значение в точке x . Действуя элементом симметрии $g_j \in G$ ($j = 1, 2, \dots, m$) на точку x и вектор-функцию p , получим соответственно точку $g_j x$ и функцию p_j , которая точке x ставит в соответствие вектор $g_j p(g_j^{-1}x)$. Согласно [2] справедливы разложения

$$p = \sum_{i=1}^l \sum_{j=1}^{m_i} p_{ij}^{(k)}; \quad p_{ij}^{(k)} = \sum_{\mu=1}^m c_{ij\mu}^{(k)} p_\mu; \quad (i = 1, 2, \dots, l; \quad \mu, k = 1, 2, \dots, m_i) \quad (1)$$

Коэффициенты $c_{ij\mu}^{(k)}$ и матрицы $\tau_i(g_j)$ представлений τ_i для групп C_n и C_{nv} приведены в [6]. Для групп T и O эти коэффициенты и μk -е элементы $\tau_{\mu k}(g_j)$ ($i = 1, 2, \dots, l$; $j = 1, 2, \dots, m$; $k, \mu = 1, 2, \dots, m_i$) указанных матриц даны в табл. 1. В случае одномерных представлений матрицы $\tau_i(g_j)$ выражаются в скаляры, являющиеся значениями характеров этих представлений. Для групп D_{nh} , S_{2n} , D_{2nd} и T_d соответственно имеющимся изоморфизмам попросту переставляются коэффициенты и матрицы групп C_n , C_{nv} , D_n и O .

Замечание 2. Приведем необходимые соответствия между номерами элементов изоморфных групп: $g_j(S_{2n}) \leftrightarrow g_{2j-1}(C_{2n})$, $g_{j+n}(S_{2n}) \leftrightarrow g_{2j}(C_{2n})$, $g_j(D_{2nd}) \leftrightarrow g_{2j-1}(D_{4n})$, $g_{2n-j}(D_{2nd}) \leftrightarrow g_{4n-2j}(D_{4n})$, $g_{2n+j}(D_{2nd}) \leftrightarrow g_{4n+2j}(D_{4n})$, $j = 1, 2, \dots, 2n$; $g_j(D_n) \leftrightarrow g_j(C_{nv})$, $j = 1, 2, \dots, 2n$; $T_d \rightarrow 0$; $1 \leftrightarrow 1$; $2 \leftrightarrow -17$; $3 \leftrightarrow 18$; $4 \leftrightarrow 16$; $5 \leftrightarrow 15$; $6 \leftrightarrow 13$; $7 \leftrightarrow 14$; $8 \leftrightarrow 12$; $9 \leftrightarrow 11$; $10 \leftrightarrow 3$; $11 \leftrightarrow -6$; $12 \leftrightarrow 9$; $13 \leftrightarrow -2$; $14 \leftrightarrow 4$; $15 \leftrightarrow -5$; $16 \leftrightarrow -7$; $17 \leftrightarrow -10$; $18 \leftrightarrow -8$; $19 \leftrightarrow -21$; $20 \leftrightarrow -20$; $21 \leftrightarrow -22$; $22 \leftrightarrow -23$; $23 \leftrightarrow -19$; $24 \leftrightarrow -24$.

Таблица 1

Коэффициенты $C_{ijk}^{(k)}$ и матричные элементы $\hat{T}_{ijk}^{(k)}$

Индексы	Коэффициенты		Значения $\hat{T}_{ijk}^{(k)} / \beta$ и $C_{ijk}^{(k)}$																								
	j	k	b	d	1	2	3	4	5	6	7	8	9	10	11	12	13	14	15	16	17	18	19	20	21	22	23
1	1	1	1	24	1	1	1	1	1	1	1	1	1	1	1	1	1	1	1	1	1	1	1	1	1	1	1
2	1	1	1	24	1	-1	1	-1	-1	1	-1	-1	1	-1	1	1	1	1	1	1	1	1	1	-1	-1	-1	-1
3	1	1	$1/2$	12	2	-2	2	-2	1	2	1	1	2	1	-1	-1	-1	-1	-1	-1	-1	1	1	-2	-2	1	1
	2	1	$\sqrt{3}/2$	12	0	0	0	0	1	0	1	-1	0	-1	1	1	-1	1	1	-1	-1	0	0	1	1	1	1
	1	2	$\sqrt{3}/2$	12	0	0	0	0	1	0	1	-1	0	-1	1	-1	-1	1	1	-1	-1	1	0	0	1	1	1
	2	2	$1/2$	12	2	2	2	2	-1	2	-1	-1	1	-1	-1	-1	-1	-1	-1	-1	-1	1	2	2	-1	-1	
1	1	1	8	1	1	1	1	0	-1	0	0	-1	0	0	0	0	0	0	0	0	0	0	0	-1	-1	0	0
2	1	1	8	0	0	0	0	0	0	1	0	-1	0	1	-1	0	0	-1	1	0	1	-1	0	0	0	0	0
3	1	8	0	0	0	0	1	0	-1	0	0	0	1	0	0	-1	1	0	0	-1	0	0	0	0	-1	1	1
4	1	1	8	0	0	0	0	0	0	-1	0	1	1	0	0	-1	-1	0	0	1	1	-1	0	0	0	0	0
2	2	1	8	1	0	-1	0	1	1	1	0	-1	0	0	0	0	0	0	0	0	0	0	0	0	-1	-1	0
3	1	8	0	-1	0	1	0	0	0	0	0	1	1	0	0	-1	-1	0	0	0	0	0	-1	1	0	0	0
1	1	8	0	0	0	0	0	0	0	0	1	0	0	0	1	-1	0	0	1	1	0	0	0	0	0	-1	1
2	3	1	8	0	1	0	-1	0	0	0	0	0	0	1	0	0	1	-1	0	0	-1	0	0	-1	1	0	0
3	1	8	1	0	-1	0	0	-1	0	1	1	1	0	0	0	0	0	0	0	0	0	-1	-1	0	0	0	
1	1	1	8	1	-1	1	1	0	-1	0	0	-1	0	0	0	0	0	0	0	0	0	0	0	1	1	0	0
2	1	1	8	0	0	0	0	0	0	-1	0	1	0	1	-1	0	0	-1	1	0	-1	1	0	0	0	0	0
3	1	8	0	0	0	0	0	0	-1	0	1	0	0	0	1	0	0	-1	1	0	0	-1	0	0	0	1	1
4	1	1	8	0	0	0	0	0	0	0	0	1	0	-1	1	0	0	-1	-1	0	0	1	1	0	0	0	0
2	2	1	8	1	3	1	0	-1	0	-1	1	1	0	-1	0	0	0	0	0	0	0	0	0	0	0	0	1
3	1	8	0	1	0	-1	0	0	0	0	0	0	0	1	1	0	0	-1	-1	0	0	0	0	1	1	0	0
1	1	8	0	0	0	0	0	0	0	0	0	0	0	0	1	0	-1	1	0	0	1	-1	0	0	0	0	
2	3	1	8	0	3	-1	0	1	0	0	0	0	0	0	1	0	0	1	-1	0	0	-1	0	0	1	-1	0
3	1	8	1	0	-1	0	0	-1	0	-1	1	-1	0	0	0	0	0	0	0	0	0	0	0	1	1	0	0
1	1	1	8	1	2	1	1	1	1	1	1	1	1	1	1	1	1	1	1	1	1	1	1	1	1	1	1
2	1	1	$1/2$	6	2	-1	-1	-1	-1	-1	-1	-1	2	2	2	-	-	-	-	-	-	-	-	-	-	-	-
2	2	$\sqrt{3}/2$	6	0	1	-1	1	-1	1	-1	1	-1	0	0	-	-	-	-	-	-	-	-	-	-	-	-	
1	2	$\sqrt{3}/2$	0	0	-1	1	-1	1	-1	1	-1	1	0	0	-	-	-	-	-	-	-	-	-	-	-		
2	2	$1/2$	0	2	-1	-1	-1	-1	-1	-1	-1	2	2	2	-	-	-	-	-	-	-	-	-	-	-		
1	1	1	4	1	0	0	0	0	0	0	0	0	1	-1	-1	-	-	-	-	-	-	-	-	-	-	-	
2	1	1	4	0	1	0	-1	0	-1	0	1	0	0	0	-	-	-	-	-	-	-	-	-	-	-		
3	1	4	0	0	-1	0	1	0	-1	0	1	0	0	0	-	-	-	-	-	-	-	-	-	-	-		
4	1	1	4	0	0	1	0	-1	0	-1	0	1	0	0	0	-	-	-	-	-	-	-	-	-			
2	2	1	4	1	0	0	0	0	0	0	0	-1	1	-1	-	-	-	-	-	-	-	-	-				
3	1	4	0	-1	0	1	0	-1	0	1	0	0	0	0	-	-	-	-	-	-	-						
1	1	4	0	0	-1	0	-1	0	1	0	1	0	0	0	-	-	-	-	-	-	-	-	-				
2	1	4	0	0	-1	0	-1	0	1	0	1	0	0	0	-	-	-	-	-	-							
3	1	4	0	1	0	0	0	0	0	0	0	-1	1	-1	-	-	-	-									
4	1	4	0	-1	0	1	0	-1	0	1	0	0	0	0	-	-	-										
5	1	4	0	0	-1	0	-1	0	1	0	1	0	0	0	-	-	-										

Наконец, коэффициенты $c_{\nu i}^{(k)}$ и матрицы $\hat{\tau}_*(g_j)$ для любой группы $G'' = G' \times E_2$ определяются из равенств: $c_{\nu i}^{(k)}(G'') = c_{\nu i}^{(k)}(G') = -c_{\nu i}^{(k)}(E_2) = -c_{\nu i}^{(k)}(e, j_m) = \frac{1}{2} c_{\nu i}^{(k)}(G')$; $\hat{\tau}_*[g_j(G'')] = \hat{\tau}_*[g_{m-j}(G')] = \hat{\tau}_*[g_{m+j}(G')] = -\hat{\tau}_*[g_{m+j}(G')] = -\hat{\tau}_*[g_j(G')]$; $j = 1, 2, \dots, l'; i = 1, 2, \dots, m$; $k, \nu = 1, 2, \dots, m$.

Через Ω_1 обозначается элементарная ячейка области Ω . Положим для конкретности, что в зависимости от типа группы G ячейка Ω_1 , ограничивается следующими плоскостями: $C_n - \Pi(e)$ и $\Pi(C_n)$; $D_n - \Pi(C_n, C_2^{(1)})$, $\Pi(C_n, C_2^{(2)})$, $\Pi(C_2^{(1)}, C_2^{(2)})$ и $\Pi(C_2^{(2)}, C_2^{(3)})$; $T - \Pi(C_2^{(1)}, C_3^{(1)})$, $\Pi(C_3^{(1)}, C_2^{(2)})$, $\Pi(C_2^{(1)}, C_3^{(2)})$ и $\Pi(C_3^{(2)}, C_2^{(3)})$; $S_{2n} - \Pi(e)$ и $\Pi(S_{2n})$; $C_{nn} - \Pi(e)$, $\Pi(C_n)$ и $\Pi(z)$; $C_{nz} - \Pi(z_1)$ и $\Pi(z_2)$; $D_{nn} - \Pi(z_1)$, $\Pi(z_2)$ и $\Pi(z)$; $D_{nd} - \Pi(z_1)$, $\Pi(z_2)$, $\Pi(C_2^{(2)}, C_2^{(1)})$ и $\Pi(C_2^{(2)}, C_2^{(3)})$; $T_d - \Pi(z_{22})$, $\Pi(z_{33})$ и $\Pi(z_{44})$; $T_h - \Pi(z_{11})$, $\Pi(C_3^{(1)}, C_2^{(2)})$ и $\Pi(C_3^{(2)}, C_2^{(3)})$; $O_h - \Pi(z_1)$, $\Pi(z_{12})$ и $\Pi(z_{42})$. Здесь $\Pi(e)$ — произвольная полуплоскость, проходящая через ось C_n ; $\Pi(C_n)$ и $\Pi(S_{2n})$ — полуплоскости, полученные из $\Pi(e)$ воздействием элементов C_n и S_{2n} ; $\Pi(C_2^{(1)}, C_2^{(2)})$ — полуплоскость, проходящая через оси $C_2^{(1)}$, $C_2^{(2)}$ и ограниченная последней; $\Pi(z_i)$ — плоскость отражения z_i .

2. Пусть упругая механическая система S занимает область Ω . Тогда в подобласти Ω_1 располагается элементарная ячейка S_1 системы S [4]. Введем в Ω_1 координатную систему u_1, v_1, z_1 . Действуя на Ω_1 элементом симметрии $g_j \in G$, получим новую подобласть Ω_j с координатной системой u_j, v_j, z_j . Вектор-функция p , заданная на Ω_1 , определена и в Ω_j ($j = 1, 2, \dots, m$), где может быть выражена как вектор-функция $p(u_j, v_j, z_j)$ соответствующих координат. Если r, q и f — перемещения, внешние и инерционные силы в точках системы S , то из принципа виртуальных перемещений следует такое уравнение движения:

$$\delta V = \int (q + f) \delta r \quad (2)$$

где V — потенциальная энергия системы S .

Следствием симметрии является тот факт, что перемещения точек системы S под нагрузкой p , определяются вектор-функцией r_j . Тогда в силу разложения (1) и линейности задачи нагрузке $q_{jk}^{(k)}$ отвечает вектор-функция $r_{jk}^{(k)}$ перемещений системы S . В связи с этим при нагрузке типа $q_{jk}^{(k)}$, используя выражение

$$\int_S p_{jk}^{(k)} f_{jk}^{(k)} d\Omega = \delta_{jk}, \delta_{jj} = \frac{m}{m} \sum_{j=1}^m \int_{\Omega_j} p_{jk}^{(k)}(u_j, v_j, z_j) f_{jk}^{(k)}(u_j, v_j, z_j) d\Omega_j \quad (3)$$

в котором под f , как и под p , понимается произвольная вектор-функция, заданная на Ω , а δ_{ν_1} и δ_{ν_2} — символы Кронекера, и которое является естественным обобщением аналогичного равенства из [6], можно показать тем же путем, что и в [6], справедливость записи уравнения (2) в следующей форме:

$$\sum_{\mu=1}^{m_1} \hat{\varepsilon} V_1^{(\nu_1 k)} = \sum_{\mu=1}^{m_1} \int_{\Omega_1} (q_{\nu_1}^{(k)} + f_{\nu_1}^{(k)}) (\delta r)^{(k)} d\Omega_1 \quad (4)$$

где $V_1^{(\nu_1 k)}$ — потенциальная энергия ячейки S_1 в случае, когда перемещения системы S имеют вид $r_{\nu_1}^{(k)}$. Соответственно [6] выражение (4) трактуется как уравнение движения (в частном случае — равновесия) системы S_1 , состоящей из m_1 элементарных ячеек S_{ν_1} , совпадающих с S_1 и загруженных внешними силами по схеме $q_{\nu_1}^{(k)}$, при которой на ячейку S_{ν_1} действует нагрузка $q_{\nu_1}^{(k)}(u_1, v_1, z_1)$.

Нетрудно получить такие соотношения

$$p_{\nu_1}^{(k)}(u_1, v_1, z_1) = q_1 \sum_{\mu'=1}^{m_1} \hat{\varepsilon}_{\nu_1 \nu_1'} (q_1^{-1}) p_{\nu_1'}^{(k)}(u_1, v_1, z_1) \quad (5)$$

Из (5) видно, что деформативное, а следовательно, и напряженное состояние S_1 , загруженной по схеме $q^{(k)}$, полностью характеризуют соответствующие состояния всей системы S . Поэтому в случае линейной механической задачи оказывается возможным вместо непосредственного нахождения составляющих $w_{\nu_1}^{(k)}$ искомой функции w определять порождающие их функции $w_{\nu_1}^{(k)}(u_1, v_1, z_1)$, которые для ячеек S_{ν_1} ($\mu = 1, 2, \dots, m_1$) системы S , имеют тот же физический смысл, что и функция w для системы S .

Плоскости, ограничивающие Ω_1 , разбиваются на три категории: а) плоскости типа $\Pi(\sigma_i)$, б) пары плоскостей $\Pi(C_n^{(i)}, C_{n'}^{(i)})$ и $\Pi(C_n^{(i)}, C_{n'}^{(s')})$, для которых элемент $C_n^{(i)}$ переводит первую плоскость пары во вторую (частным случаем является пара $\Pi(e)$ и $\Pi(S_2)$), в) пары плоскостей $\Pi(e)$ и $\Pi(S_{2n})$.

Пусть $x(C_n^{(i)}, C_{n'}^{(s)}) \in \Pi(C_n^{(i)}, C_{n'}^{(s)})$, $x(e) \in \Pi(e)$, $x(S_{2n}) \in \Pi(S_{2n})$, $x(C_n) \in \Pi(C_n)$, $x(\sigma_i) \in \Pi(\sigma_i)$, причем $C_n^{(i)} x(C_n^{(i)}, C_{n'}^{(s)}) = x(C_n^{(i)}, C_{n'}^{(s')})$; $S_{2n} x(e) = x(S_{2n})$; $C_n x(e) = x(C_n)$. Тогда из (5) следует

$$p_{\nu_1}^{(k)}[x(C_n^{(i)}, C_{n'}^{(s')})] = C_n^{(i)} \sum_{\mu'=1}^{m_1} \hat{\varepsilon}_{\nu_1 \nu_1'} [(C_n^{(i)})^{-1}] p_{\nu_1'}^{(k)}[x(C_n^{(i)}, C_{n'}^{(s)})] \quad (6)$$

$$p_{\nu_1}^{(k)}[x(C_n)] = C_n \sum_{\mu'=1}^{m_1} \hat{\varepsilon}_{\nu_1 \nu_1'} (C_n^{-1}) p_{\nu_1'}^{(k)}[x(e)] \quad (7)$$

$$p_{\eta}^{(k)}[x(S_{2n})] = S_{2n} \sum_{\mu=1}^m \zeta_{\eta\mu}^{(k)}(S_{2n}) p_{\eta}^{(k)}[x(e)] \quad (8)$$

$$p_{\eta}^{(k)}[x(\tau_i)] = \tau_i \sum_{\mu=1}^m \zeta_{\eta\mu}^{(k)}(\tau_i) p_{\eta}^{(k)}[x(\tau_i)] \quad (9)$$

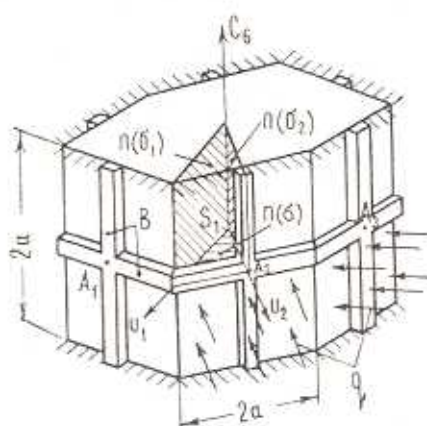
Весь порядок методики из [6] переносится таким образом на рассматриваемые в данной работе задачи. Функции нагрузки $q_{\eta\mu}^{(k)}(u_1, v_1, z_1)$ ячеек $S_{\eta\mu}$ имеют вид (при $q_j = q_j^{-1}$):

$$q_{\eta\mu}^{(k)}(u_1, v_1, z_1) = \sum_{j=1}^m c_{\eta\mu j}^{(k)} q_j(u_j, v_j, z_j) \quad (10)$$

а их граничные условия определяются выражениями (6), (7), (8) и (9).

Изложенный подход может быть применен в статических и динамических расчетах симметричных пластиначатых систем (с упругим основанием и без него) и оболочек при наличии ребер жесткости, со средоточенных масс и нагрузок, в симметричных задачах теории упругости и т. д.

Пример. Система из шести пластин, подкрепленных ребрами жесткости, вместе с внешней нагрузкой изображена на фиг. 1. Элементы симметрии образуют группу $D_{6h} = D_6 \cdot C_{sh}$. Искомыми являются прогибы пластин в точках A_2 и A_1 . Перемещениями пластин в своей плоскости будем пренебречь. Предположим также, что силовые факторы в плоскостях пластин малы по сравнению с критическими.



Фиг. 1.

Примем $\frac{B}{Da} = 0.25$ (B — изгибная жесткость ребер). Для группы D_{6h} :

$m = 24$, $l = 12$, $m_1 = m_2 = m_4 = m_5 = m_7 = m_9 = m_{10} = 1$,
 $m_3 = m_6 = m_{11} = m_{12} = 2$. Страны системы S_v ($v = 1, 2, \dots, 12$) и загружая их

по схемам $q_{\infty}^{(k)}$ ($k = 1, 2, \dots, m$), убеждаемся, что ненулевые прогибы в точке A_2 имеют место только для S_1 , S_2 и S_3 . Системы S_1 и S_3 , загруженные соответственно по схемам $q_1^{(1)}$ и $q_3^{(1)}$, приведены на фиг. 2.

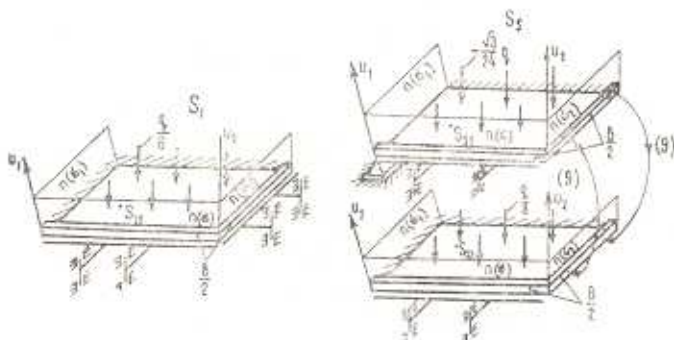


Figure 2

Используя формулу (10), находим $q_{11}^{(1)} = \frac{1}{6}q$; $q_{51}^{(1)} = \frac{1}{8}q$; $q_{52}^{(1)} = -\frac{1}{8}\bar{3}q$; $q_{51}^{(2)} = -\frac{1}{24}\bar{3}q$; $q_{52}^{(2)} = \frac{1}{8}q$; $q_{61}^{(1)} = \frac{1}{8}q$; $q_{62}^{(1)} = -\frac{1}{24}\bar{3}q$; $q_{61}^{(2)} = \frac{\sqrt{3}}{24}q$; $q_{62}^{(2)} = -\frac{1}{24}q$. Определены прогибы w систем S_1 , S_5 и S_6 , например, ме-

$$\begin{aligned} w_{11}^{(1)}(A_2) &= 0.00305 \frac{qa^4}{D}; \quad w_{31}^{(1)}(A_2) = 0.0025 \frac{qa^4}{D}; \quad w_{51}^{(1)}(A_2) = -0.0044 \frac{qa^4}{D}; \\ w_{31}^{(2)}(A_2) &= -0.0015 \frac{qa^4}{D}; \quad w_{52}^{(2)}(A_2) = 0.0025 \frac{qa^4}{D}; \quad w_{61}^{(1)}(A_2) = 0.0032 \frac{qa^4}{D}; \\ w_{62}^{(1)}(A_2) &= -0.0018 \frac{qa^4}{D}; \quad w_{61}^{(2)}(A_2) = 0.0018 \frac{qa^4}{D}; \quad w_{62}^{(2)}(A_2) = -0.0011 \frac{qa^4}{D}. \end{aligned}$$

Используя соотношение (5), находим

$$w_{11}^{(1)}(A_1) = 0.00305 \frac{qa^4}{D}; \quad w_{31}^{(1)}(A_1) = -0.0025 \frac{qa^4}{D}; \quad w_{52}^{(2)}(A_1) = 0.0025 \frac{qa^4}{D};$$

$$w_{61}^{(1)}(A_1) = -0.0032 \frac{qa^4}{D}; \quad w_{62}^{(2)}(A_1) = -0.0011 \frac{qa^4}{D}$$

Тогда из разложения (1) окончательно следует, что

$$w(A_1) = -0.00125 \frac{qa^4}{D}; \quad w(A_2) = 0.0103 \frac{qa^4}{D}.$$

С помощью соотношения (5) нетрудно, между прочим, проверить, что имеет место равенство $w(A_1) = w(A_3)$, обусловленное симметрией нагрузки.

В заключение заметим, что точность проведенного расчета связана исключительно с решением систем S_1 , S_2 и S_3 .

◎ 480

У. Л. БУРЫШКИН

ИМЕНУЕМУЮЩИЕСЯ, ИМЕНУЕМЫЕ РЕЧЬЮ ИМЕНУЕМЫЕ, РЕЧЬЮ ИМЕНУЕМЫЕ
ИМЕНУЕМЫЕ РЕЧЬЮ ИМЕНУЕМЫЕ РЕЧЬЮ ИМЕНУЕМЫЕ, РЕЧЬЮ ИМЕНУЕМЫЕ

В. С. Ф. О. Ф. П. А. Д.

Հեղինակի նախորդ հոգվածներից մեկում [6] ցեկիլի սիմետրիայով սալերի ստատիկական հաշվարկների համար առաջարկվել է եղանակ: Ներկա աշխատանքում այդ եղանակը կիրառվել է կոնսերվատիվ սիստեմների մեխանիկայի տարրեր գծային խնդրների լուծման համար:

Դիտարկում է սիմետրիայի կետային խումբ տիրապետող դժային կանոնավատիվ սիստեմ: Յուրաքանչյուր տրվում, որ իթե արտարին բեր ձևափոխվում է բայց սիմետրիայի խմբի շրերմաղ ներկայացման, այդ դեպքում սկզբնական սիստեմի փոխարեն կարելի է ուսումնասիրել ավելի պարզ սիստեմ, ընդհանրապես ասած, մի քանի պարզ բժիշներից բաղկացած, որոնց վրա կիրառված են որոշակի կապեր:

THE APPLICATION OF GROUP REPRESENTATION THEORY TO LINEAR PROBLEMS OF THE CONSERVATIVE SYSTEM MECHANICS

M. L. BURYSHKIN

Summary

The simplification of linear conservative system calculations is investigated for the systems possessing a point group of symmetry. The technique of control for similar simplifications has been suggested, which is based on the mechanical treatment of "elementary cell" method and is independent on that of conservative system calculation.

А И Т Е Р А Т У Р А

1. Альбергий Г. Я. Теория групп и ее применение в физике. ГИФМА, М., 1958.
2. Каплан И. Г. Симметрия многоэлектронных систем. Наука, М., 1969.
3. Удилов В. В., Ковбаса Г. Т. Исследование собственных колебаний стержневых систем с групповой симметрией. Сб. „Кибернетика и вычислительная техника“, в. 1. „Наукова думка“, Киев, 1969.
4. Фомин В. М. О методике элементарной ячейки при расчете колебаний симметрических стержневых систем. Сб. „Техническая кибернетика“, в. 1. „Наукова думка“, Киев, 1970.
5. Бурышкин М. А. О свободных колебаниях регулярных цепных систем. ПМ, Киев, 1971.
6. Бурышкин М. А., Селюк В. А. О равновесии симметрических пластин. Докл. АН Арм. ССР, т. XV, №3, 1972.